

Т. Новикова¹, Т. Сахно¹, І. Короткова¹, Н. Барашков², Ю. Сахно¹, І. Іргібаєва³
**Спектральні властивості деяких кумаринових і піранових
барвників у рідких розчинах і зшитих полімерних матрицях**

¹Полтавське відділення академії наук технологічної кібернетики України

²Micro-Tracers, Inc, Department of R&D, San Francisco, CA, 94124, United States

³L.N. Gumilyov's Eurasian National University, Department of Chemistry, Astana, Kazakhstan

У роботі представлені експериментальні дані та результати квантово-хімічних розрахунків енергетичних характеристик похідних кумарину у етанольних розчинах та епоксиполімерній матриці. Оцінюється вплив полярності середовища на положення спектрів поглинання та флуоресценції кумарину 504 та ДСМ за допомогою квантово-хімічних розрахунків. Виконано порівняння результатів моделювання з існуючими експериментальними даними.

Ключові слова: люмінофори (С504, ДСМ), спектри поглинання і люмінесценції, константа Кірквуда-Онзагера, квантово-хімічні розрахунки.

Стаття поступила до редакції 03.06.2011; прийнята до друку 15.12.2011.

Вступ

В останні роки в усьому світі бурхливо розвиваються дослідження, пов'язані з пошуком і технічними розробками засобів використання нетрадиційних джерел енергії. Одним з таких засобів є люмінесцентний сонячний концентратор (ЛСК), який у загальному випадку є пластиною (матрицею) з розчиною в ній люмінесціюючою речовиною, яка має широку смугу поглинання у видимій і УФ-області спектру. Протягом багатьох років поліметилметакрилат (ПММА) широко використовували як матрицю в ЛСК, в основному, завдяки стійкості до атмосферних умов, і гарній прозорості у видимій області спектра. Лише у деяких ЛСК таким матеріалом виступали полістирол, полівінілацетат, полівінілхлорид, полікарбонат, сополімери акрилонітрилу зі стиролом. Як люмінофорні ланки вводили сполуки типу конденсованих ароматичних і гетероароматичних похідних кумаринових і ксантенових барвників. Останнім часом з'явилися роботи, у яких основна увага приділяється не підвищенню прозорості полімерних пластин, а на перший план висуваються проблеми фотостійкості барвника в матриці. Серед досліджених на предмет фотохімічної стійкості барвників – кумарини 460, 500, 540, деякі ксантенові й оксазинові барвники [1]. Незважаючи на це, в нинішній час не існує узвичаєних конструкцій ЛСК, які б забезпечували їх оптимальні параметри. Певні успіхи в їх розробці пов'язані з виготовленням конструкцій з декількох полімерних пластин, що

містять різні люмінофори. Такий метод дозволяє значно поширити спектр поглинання випромінювання Сонця. Вибір барвників для розчинення в полімерному матеріалі визначається умовою збігу (для пари пластин) максимумів випромінювання верхньої і поглинання нижньої пластини. У літературі описана трипластинчаста конструкція ЛСК, у якій кожна пластинка активувалася люмінофорами з різними спектрами поглинання (наприклад, у верхній пластині - люмінофором зі спектром поглинання від УФ-області до 550 нм, в середній - 550-900 нм і в нижній - більш 900 нм). Порівняння з однопластинчастим ЛСК, що має область поглинання від УФ-області до 530 нм, показало, що оптична ефективність багатопластинчастого ЛСК приблизно в 1,5 рази вище ефективності однопластинчастої конструкції [1].

У даній роботі запропоновано і доведено експериментально ефективність застосування сумішей барвників (кумаринових і піранових), які вводили в одну пластину ЛСК, виготовлену на основі епоксидних олігомерів. Дослідження ефективності використання сумішей барвників в полімерних матрицях представлені в літературі менш широко, в основному через проблему сумісності. Ми у своїх дослідженнях використовували суміші сполук, спектри поглинання й випромінювання яких знаходяться в різних частотних діапазонах. Крім загальних для всіх люмінофорів вимог - високий квантовий вихід флуоресценції, фотохімічна стійкість, вони повинні задовольняти вимогам, які обумовлені фізичними аспектами їх застосування,

серед яких, мале температурне і концентраційне гасіння; стійкість до УФ-випромінювання. Крім того, величина стокового зсуву має важливе значення в підборі люмінофорів, оскільки вона свідчить про ступінь перекривання довгохвильової смуги поглинання і смуги флуоресценції і, тим самим, показує, наскільки сильно буде позначатися на оптичних характеристиках речовини реабсорбція [2].

В літературі широко представлені експериментальні і теоретичні роботи з вивчення впливу температури [3 - 5] і полярності середовища на флуоресцентні характеристики кумаринових барвників [6 - 10]. Незважаючи на значний експериментальний матеріал стосовно фотофізичних характеристик даного ряду сполук, інформації про кумаринвмісні полімери і їх спектральні властивості недостатньо. Основна частина робіт присвячена синтезу таких полімерів і їх експериментальному дослідженню в зв'язку з використанням їх як лазерних барвників.

Метою даної роботи є встановлення закономірностей зміни спектрально-люмінесцентних властивостей представлених барвників при переході від спиртових розчинів до епоксиполімерної матриці. Для рішення поставленої задачі були використані як експериментальні дані про спектри поглинання і флуоресценції, так і результати квантово-хімічних розрахунків чистих барвників і в розчинниках різної полярності.

I. Методика експерименту

Епоксиполімерну матрицю синтезували взаємодією олігомерного дигліцидилового ефіру бісфенолу А і отверджувача типу триметоксибороксину (ТМБО) за методикою [11]. Вибір епоксиполімерів [12] як основи для ЛСК обумовлений низкою чинників, серед яких, висока оптична прозорість у широкому спектральному діапазоні, можливість зміни хімічної структури й оптичних властивостей відповідним вибором вихідних мономерів і, крім того, зшита тривимірна структура полімеру. В отриману матрицю вводили суміш люмінофорів: [2-[2-[4-(диметиламіно)феніл]етеніл]-6-метил-4Н-піран-4-уліден]пропанединітрил (ДСМ) і Кумарин 504 (С504).

Спектри поглинання розчинів барвників і плівок полімерів реєстрували на спектрофотометрах "Perkin-Elmer 402" і "Shimadzu", спектри флуоресценції - на спектрофлуориметрі „MPF-44 Perkin-Elmer”.

Квантово-хімічні розрахунки енергетичних параметрів модельного ряду сполук (кумарин - 3,4-бензокумарин - кумарин 504) виконано з використанням програмного пакету GAUSSIAN 03W у рамках теорії функціонала щільності (TD-DFT) методом B3LYP і базисному наборі 6-31G(d).

II. Результати експерименту та їх обговорення

На рис. 1 представлені експериментально отримані спектри поглинання і флуоресценції етанольних розчинів кумарину 504 і ДСМ. Як видно з рис. 1, спектр флуоресценції ДСМ розташований у

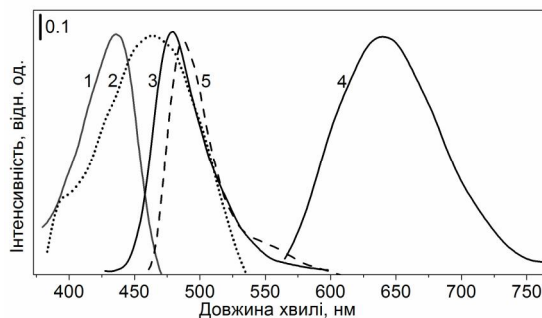


Рис. 1. Спектри поглинання (1, 2) і флуоресценції (3, 4, 5) етанольних розчинів кумарину С504 (1, 5), барвника ДСМ (2, 4), епоксиполімерної плівки з С504 (3).

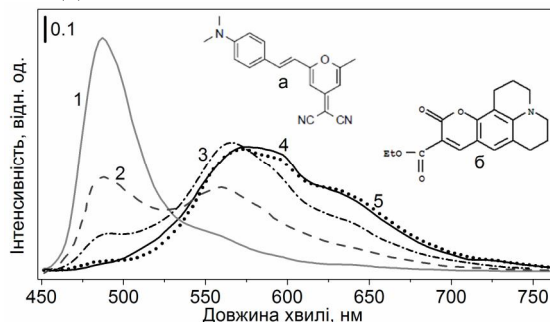


Рис. 2. Спектри флуоресценції епоксиполімерних плівок з концентрацією ДСМ $1,2 \cdot 10^{-6}$ – $9 \cdot 10^{-3}$ моль/л (1 - 1,2 мкмоль/л; 2 - 16 мкмоль/л; 3 - 130 мкмоль/л; 4 - 1,1 ммоль/л; 5 - 9 ммоль/л). Формули: (а) - ДСМ, (б) - С504.

більш довгохвильовій області ($\lambda_{\max} = 644$ нм) відносно спектру кумарину 504 ($\lambda_{\max} = 480$ нм). Стоксів зсув спектрів флуоресценції молекул ДСМ і кумарину 504 дорівнює 5517 і 1915 cm^{-1} , відповідно. Положення максимумів спектрів поглинання і флуоресценції обох люмінофорів дозволяє зробити висновок, що в даній системі спостерігається ефективний перенос енергії від донора С504 до акцептора ДСМ.

Досліджено спектри флуоресценції сумішей даних люмінофорів у епоксиполімері: концентрація С504 у всіх зразках дорівнювала 10^{-4} моль/л, концентрацію ДСМ варіювали від 10^{-6} до 10^{-2} моль/л. Аналіз спектрів флуоресценції, представлених на рис. 2, показує, чим вища концентрація ДСМ, тим більше інтенсивність смуги випромінювання в області 570 нм. При збільшенні концентрації ДСМ до 10^{-4} моль/л і більше, інтенсивність даної смуги надалі не змінювалася. При найвищій концентрації ДСМ у спектрі флуоресценції з'являється додаткова смуга з $\lambda_{\max} = 625$ нм, походження якої можливо пояснити утворенням ексиплексів. Слід зазначити, що при

Таблиця 1

Енергії нижчих синглетних і триплетних рівнів і величина S-T-розщеплення (ΔE) для $\pi\pi$ - і $n\pi$ -рівнів досліджуваних хромофорів.

Молекула	$E_{S\pi\pi}$, см^{-1}	$E_{T\pi\pi}$, см^{-1}	$\Delta E_{(S-T)\pi\pi}$, см^{-1}	$E_{S n\pi}$, см^{-1}	$E_{T n\pi}$, см^{-1}	$\Delta E_{(S-T)n\pi}$, см^{-1}
кумарин	33719	21697	12022	30959	27515	3444
3,4-бензокумарин	33089	23562	9527	34962	32060	2902
кумарин 504	28022	18575	9447	28916	27331	1585

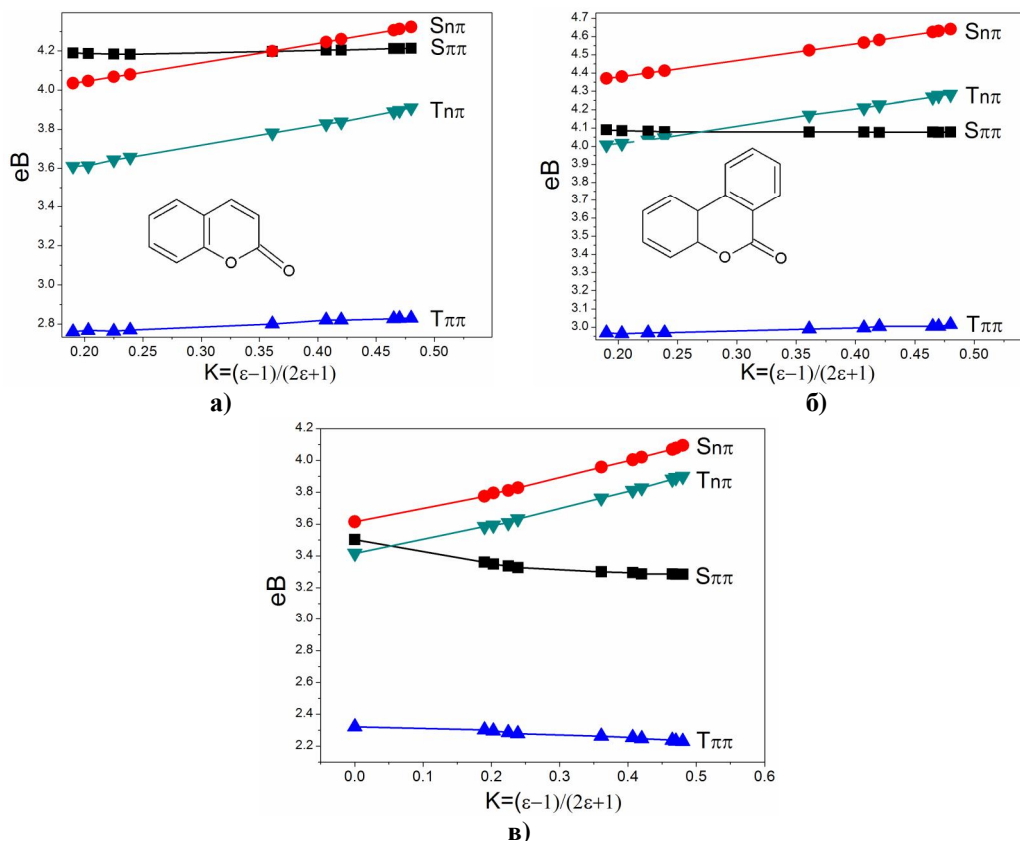


Рис. 3. Залежність енергії нижчих синглетних і триплетних рівнів кумарину (а), 3,4-бензокумарину (б) і кумарину С504 (в) від параметру полярності розчинника К-О.

найнижчій концентрації ДСМ (1,2 мкмоль/л), спектр флуоресценції композиції епоксиполімер-люмінофор ($\lambda_{\text{max}} = 477,5$ нм) близький до спектра флуоресценції С504 у етанолі ($\lambda_{\text{max}} = 480$ нм), з чого можна зробити висновок, що введення С504 у епоксиполімер практично не впливає на флуоресцентні характеристики барвника.

Для теоретичної інтерпретації властивостей люмінофорів у матрицях з різною величиною діелектричної проникності виконано квантово-хімічні розрахунки енергетичних характеристик модельного ряду сполук. Отримані результати представлені в таблиці 1. Як відомо, спектрально-люмінесцентні властивості люмінофорів визначаються відносним розташуванням нижчих електронно-збуджених станів різної орбітальної природи і мультиплетності. Одним з каналів безвипромінювальної дезактивації даного ряду сполук є ІКК, імовірність якої, крім природи нижчих синглетного і триплетного збуджених станів, визначається величиною енергетичного інтервалу між ними, збільшуючись при зменшенні величини S-

T-розщеплення. Таким чином, величина ΔE між $S_{\pi\pi}$ -рівнем і найближчим до нього триплетним рівнем $\pi\pi$ -природи для досліджуваних кумаринів визначає залежність флуоресценції від зовнішніх чинників.

Для встановлення ступеня впливу полярності розчинника на положення спектрів поглинання досліджуваних кумаринів і ДСМ використовували константу Кірквуда-Онзагера $(\epsilon - 1) / (2\epsilon + 1)$. Діапазон полярності: 0,19 (гептан) – 0,48 (ацетонітрил). На рис. 3,(а-в) представлені графічні залежності зміни енергії нижчих синглетних і триплетних рівнів досліджуваних молекул як функція константи Кірквуда-Онзагера, які отримано в результаті розрахунку.

Енергетичні криві, представлені на Рис.3а, підтверджують експериментальні дані про відсутність флуоресценції у незаміщеного кумарину, тому що він має таку послідовність розташування енергетичних рівнів: S_0 , $T_{1\pi\pi}$ *, $T_{2n\pi}$ *, $S_{1n\pi}$ *, $S_{2\pi\pi}$ *, відповідно до систематики молекул, належить до III спектрально-люмінесцентної групи [13]. Збільшення полярності розчинника супроводжується значним

збільшенням енергії $\pi\pi$ -рівнів (0,45 - 0,47 eV), енергія нижчого $S_{\pi\pi}$ -рівня не змінюється у всьому досліджуваному діапазоні полярності. Однак, у хлороформі (К-О 0,36), унаслідок збільшення енергії $S_{\pi\pi}$ -рівня, спостерігається інверсія $S_{\pi\pi}$ - і $S_{\pi\pi}$ -рівнів, що приводить до зміни відносного положення енергетичних рівнів і переходу молекули в IV спектрально-люмінесцентну групу, але флуоресценції не спостерігається.

Збільшення полярності розчинника практично не впливає на положення синглетних і триплетних рівнів $\pi\pi$ -природи в молекулі 3,4-бензокумарина, у той час як енергія нижчого $S_{\pi\pi}$ -рівня збільшується на 0,23 eV, $T_{\pi\pi}$ -рівня – на 0,43 eV (рис. 3,6). Величина енергетичного інтервалу між $S_{\pi\pi}$ - і $T_{\pi\pi}$ -рівнями в гептані складає $\sim 700 \text{ cm}^{-1}$, у полярному ацетонітрилі збільшується до 1646 cm^{-1} . Як впливає з представлених графічних залежностей, у неполярних і слабополярних розчинниках (К-О до 0,27) 3,4-бензокумарин не флуоресцює, що зумовлено відносним положенням $S_{\pi\pi}$ - і $T_{\pi\pi}$ -рівнів і імовірністю протікання ІКК між ними. Вирішальне значення належить константі швидкості ІКК, яка має величину порядку $10^6 - 10^8 \text{ s}^{-1}$, якщо процес відбувається між станами однієї орбітальної природи ($\pi\pi$ - і $\pi\pi$ -), тобто має один порядок з константою флуоресценції (10^7 s^{-1}). Якщо процес ІКК здійснюється між електронними станами різної орбітальної природи ($\pi\pi$ - і $\pi\pi$ -), константа швидкості становить $10^{10} - 10^{11} \text{ s}^{-1}$, що призводить практично до повного зникнення флуоресценції [13]. Подальше збільшення полярності розчинника (К-О 0,27-0,48) призводить до інверсії енергетичних рівнів молекули 3,4-бензокумарину, головним чином за рахунок збільшення енергії $T_{\pi\pi}$ -рівня, і появи флуоресценції. Аналізуючи розрахункові дані щодо положення спектру поглинання 3,4-бензокумарина при збільшенні полярності розчинника, слід відмітити незначний батохромний зсув (471 cm^{-1}) при переході від газової фази до ацетонітрилу.

На відміну від розглянутих представників модельного ряду сполук, спектр поглинання C504 зазнає суттєвих змін, які проявляються у батохромному зсуві на 1748 cm^{-1} при переході від ізольованої молекули до полярного ацетонітрилу. Енергія синглетних і триплетних рівнів $\pi\pi$ -природи також значно збільшується ($\sim 4000 \text{ cm}^{-1}$). Епоксиполімерна матриця, в яку вводили суміш барвників, має константу Кірквуда-Онзагера [14] близьку за величиною до константи К-О хлороформу (0,38). Порівняння положення розрахованих спектрів поглинання C504 у етанолі ($\lambda_{\text{max}} = 377,5 \text{ nm}$) і хлороформі ($\lambda_{\text{max}} = 375,65 \text{ nm}$) вказує на незначний гіпсохромний зсув (1,9 nm), що добре узгоджується з експериментальними даними

(рис. 1). Це може свідчити про незначний вплив полімерного середовища на спектрально-люмінесцентні властивості барвника.

Теоретичні розрахунки енергетичних характеристик молекули ДСМ показали, що спектр поглинання чутливий до полярності розчинника і, аналогічно спектру C504, зсувається батохромно на 1823 cm^{-1} при переході від газової фази до ацетонітрилу. Відмінною рисою даної молекули є наступне: нижчий синглетний рівень має $\pi\pi$ -природу й обумовлений одноелектронним переходом з $80 \rightarrow 81$ молекулярну орбіталь з великою силою осцилятора (1,2009). Оскільки основою для визначення орбітального типу збудженого електронного стану є інтенсивність ліній у вібронному спектрі, наступні десять переходів також ідентифіковані нами як $\pi\pi$ -переходи. Відповідно до розрахованих даних, синглетні і триплетні рівні $\pi\pi$ -природи відділені значним енергетичним інтервалом від S_1 -рівня і не можуть істотно вплинути на флуоресцентні характеристики молекули ні внаслідок збільшення полярності розчинника, ні при зміні температури.

Висновки

Таким чином, у представленій роботі виконано аналіз зміни спектрально-люмінесцентних характеристик модельних сполук ряду кумарину і ДСМ у залежності від природи розчинника. Результати цього аналізу з використанням уявлень, які складають основу систематики молекул по спектрально-люмінесцентним властивостях із залученням експериментальних даних про спектри поглинання і флуоресценції, а також результатів квантово-хімічних розрахунків дозволили адекватно інтерпретувати властивості вивчених барвників у епоксиполімерній матриці. Експериментально отримані композиції епоксиполімер-люмінофор (кумарин 504 і ДСМ) можуть бути ефективно використані в сцинтиляторах і люмінесцентних сонячних концентраторах. На підставі результатів квантово-хімічних розрахунків у багатьох випадках можливо теоретично прогнозувати властивості органічних люмінофорів у полімерній матриці і, таким чином, здійснювати вибір сумішей барвників для ЛСК.

Новикова Т. – здобувач;

Сахно Т. - доктор хімічних наук, професор;

Короткова І. - кандидат хімічних наук, доцент;

Барашков М.М. - доктор хімічних наук, професор;

Сахно Ю. - кандидат хімічних наук;

Ірگیбасва І. - доктор хімічних наук, професор.

[1] Б.В. Гриньов, Т.В. Сахно, В.Г. Сенчишин. *Оптично прозорі та флуоресцюючі полімери*. Харків. Інститут монокристалів. 575 с. (2003).

[2] А.О. Дорошенко. Физико-химические принципы создания высокоэффективных органолюминофоров с аномально высоким стоксовым сдвигом // *Теорет. и эксперим. химия*, **38**(3), с. 133-152 (2002).

- [3] T.V. Sakhno, I.V. Korotkova, O.A. Khakhel'. A possible mechanism of coumarin derivatives fluorescence quenching // *Functional Materials*, **3**(4), pp.502-505 (1996).
- [4] А.Н. Соловьев, В.И. Южаков, С.С. Васильев. О температурном тушении флуоресценции этанольных растворов кумаринов // *Опт. и спектр.*, **72**(1), с. 121-124 (1992).
- [5] И.В. Короткова, Т.В. Сахно, Н.Н. Барашков. Температурная зависимость излучательных процессов в 3,4-бензокумарине // *Журн. физ. химии*, **71**(5), с. 861-863 (1997).
- [6] S. Bakkialakshmi and T. Menaka. Physics study on the interaction of coumarin with β -cyclodextrin by absorption and fluorescence spectroscopy // *Recent Research in Science and Technology*, **2**(5), pp. 58-62 (2010).
- [7] N. Boens, W. Qin, N. Basaric, J. Hofkens, M. Ameloot et. set. Fluorescence lifetime standarts for time and frequency domain fluorescence spectroscopy // *Anal. Chem.*, **79**, pp. 2137-2149 (2007).
- [8] Sanjukta Nad, Manoj Kumbhakar and Haridas Pal. Photophysical Properties of Coumarin-152 and Coumarin-481 Dyes: Unusual Behavior in Nonpolar and in Higher Polarity Solvents // *J. Phys. Chem. A*, **107**, pp. 4808-4816 (2003).
- [9] U. S. Raikar, V. B. Tangod, C. G. Renuka and B. M. Mastiholi. Dynamical behavior of coumarin compounds in alcohol solvents // *African Journal of Pure and Applied Chemistry*, **4**(4), pp. 51-57 (2010).
- [10] J.R. Mannekutia, B.G. Mulimani, S.R. Inamdar. Solvent effects on the absorption and fluorescence spectra of coumarin laser dyes: Evaluation of ground and excited state dipole moments // *Spectrochimica Acta Part A*, **69**, pp. 419-426 (2008).
- [11] L. Liu, N. Barashkov, T. Novikova, C. Palsule, S. Gangopadhyay, W. Borst. Fluorescence studies on new epoxy-polymer-dye compositions for ultrafast wavelength shifters // *Appl. Spectr.*, **50**(12), pp. 1545-1552 (1996).
- [12] С.А. Гейдур. Оптически прозрачные эпоксидные полимеры. Экономика и производство // *Технологии, оборудование, материалы*, **73**(3), с. 54-58 (2003).
- [13] Д.Н. Шигорин. К систематике молекул III. Систематика и эволюция спектрально-люминесцентных свойств молекул // *Журн. физ. химии*, **54**(8), с. 1920-1936 (1980).
- [14] Y. Rao, S. Ogitani, P. Kohl, C. Wong. Novel polymer-ceramic nanocomposite based on high dielectric constant epoxy formula for embedded capacitor application // *J. of Appl. Polymer Science*, **83**, pp. 1084-1090 (2002).

T. Novikova¹, T. Sakhno¹, I. Korotkova¹, N. Barashkov²,
Yu. Sakhno¹, I. Irgibaeva³

The Spectral Properties of Some Coumarins and Pirunes Dyes in Liquid Solvents and Cross-Linked Polymer Matrix

¹Academy of science of technological cybernetics of the Ukraine Poltava Department, Ukraine

²Micro-Tracers, Inc, Department of R&D, San Francisco, CA, 94124, United States

³L.N. Gumilyov's Eurasian National University, Department of Chemistry, Astana, Kazakhstan

The paper presents the experimental data and results of quantum-chemical calculations of energies characteristics of coumarins derivatives in ethanol solvents and epoxy-polymer matrix. It is executed the effects of solvent polarity on absorption and fluorescence spectra of C504 and DCM by quantum-chemical calculations. The modeling results were compared with experimental data.

Key words: luminophors (C504, DCM), absorption and fluorescence spectra, Kirkwood-Onzager constant, quantum-chemical calculations.